


Costruttore		N° test	EAPR-GS-7634/12
		Luogo	Schruns
Modello	SuperSimple L	Bad Grönenbach:	19.08.12



EAPR GmbH - Marktstr. 11 - D-87730 Bad Grönenbach - Germany

Data del test	Peso minimo al decollo 18.08.12		Peso massimo al decollo 11.08.12	
Test pilot	Hannes Tschofen		Anselm Rauh	
Selletta	Academy Test Equipment		EAPR Testequipment	
Peso totale al decollo	100 kg		130 kg	

Classificazione	A
------------------------	----------



Criteria del test	41139	Valutazione	41132	Valutazione
1. Gonfiaggio/decollo - 4.1.1				
Comportamento nel gonfiaggio	Gonfiaggio dolce, facile e progressivo	A	Gonfiaggio dolce, facile e progressivo	A
Tecnica specifica richiesta per il decollo	No	A	No	A
2. Atterraggio - 4.1.2				
Tecnica specifica richiesta per l'atterraggio	No	A	No	A
3. Velocità nel volo rettilineo - 4.1.3				
Velocità di trim superiore a 30 km/h	Si	A	Si	A
Velocità a freni completamente abbassati superiore a 10 km/h	Si	A	Si	A
Velocità minima	inferiore a 25 km/h	A	inferiore a 25 km/h	A
4. Controllo del punto di stallo dichiarato dal costruttore - 4.1.4				
Peso massimo in volo fino a 80 kg		-		-
Peso massimo in volo da 80 kg a 100 kg	Crescente > 60cm	A		-
Peso massimo in volo superiore a 100 kg		-	Crescente >65 cm	A
5. Stabilità sull'asse di beccheggio in uscita dal volo accelerato - 4.1.5				
Angolo di picchiata in uscita	Picchiata inferiore a 30°	A	Picchiata inferiore a 30°	A
Consequente chiusura	No	A	No	A
6. Stabilità sull'asse di beccheggio agendo sui comandi nel volo accelerato - 4.1.6				
Consequente chiusura	No	A	No	A
7. Stabilità sull'asse di rollio e smorzamento - 4.1.7				
Oscillazioni	Si autostabilizza	A	Si autostabilizza	A
8. Stabilità in spirale neutra - 4.1.8				
Tendenza a riprendere il normale assetto di volo	Uscita spontanea	A	Uscita spontanea	A
9. Comportamento durante una brusca inversione di 360° - 4.1.9				
Tasso di caduta dopo due virate	compresa fra 12 m/s e 14 m/s	A	compresa fra 12 m/s e 14 m/s	A
10. Chiusura frontale simmetrica - 4.1.10				
Ingresso	Arretra meno di 45°	A	Arretra meno di 45°	A
Uscita	Spontaneo in meno di 3 sec.	A	Spontaneo in meno di 3 sec.	A
Angolo di picchiata in uscita	0° - 30° Mantiene la traiettoria di volo	A	0° - 30° Mantiene la traiettoria di volo	A
Consequente cascata di configurazioni	No	A	No	A
Ingresso	Arretra meno di 45°	A	Arretra meno di 45°	A
Uscita	Spontaneo in meno di 3 sec.	A	Spontaneo in meno di 3 sec.	A
Angolo di picchiata in uscita	0° - 30° Mantiene la traiettoria di volo	A	0° - 30° Mantiene la traiettoria di volo	A
Consequente cascata di configurazioni	No	A	No	A
11. Uscita dallo stallo paracadutale - 4.1.11				

Fase paracadutale raggiungibile	Si		Si	
Uscita	Spontaneo in meno di 3 sec.	A	Spontaneo in meno di 3 sec.	A
Angolo di picchiata in uscita	0° - 30°	A	0° - 30°	A
Cambio di direzione	Cambio di direzione inferiore a 45°	A	Cambio di direzione inferiore a 45°	A
Consequente cascata di configurazioni	No	A	No	A
12. Uscita da uno stallo di B rilasciato molto lentamente - 4.1.12				
Uscita	Spontaneo in meno di 3 sec.	A	Spontaneo in meno di 3 sec.	A
Consequente cascata di configurazioni	No	A	No	A
13. Uscita da uno stallo simmetrico trattenuto (post stallo) - 4.1.13				
Angolo di picchiata in uscita	0° - 30°	A	0° - 30°	A
Chiusura	Senza conseguente chiusura	A	Senza conseguente chiusura	A
Consequente cascata di configurazioni	No	A	No	A
Oscilla indietro	Inferiore a 45°	A	Inferiore a 45°	A
Tensione delle linee	Tensione della maggior parte delle linee	A	Tensione della maggior parte delle linee	A
14. Chiusura asimmetrica - 4.1.14				
Cambio di direzione prima della riapertura	< 90°	Angolo di picchiata o di rollio compreso entro	0° - 15°	A
Comportamento nella riapertura	Riapertura spontanea	A	Riapertura spontanea	A
Variazione totale della direzione	Inferiore a 360°	A	Inferiore a 360°	A
Consequente chiusura della semiala opposta	No	A	No	A
Consequente twist	No	A	No	A
Consequente cascata di configurazioni	No	A	No	A
Cambio di direzione prima della riapertura	< 90°	Angolo di picchiata o di rollio compreso entro	15° - 45°	A
Comportamento nella riapertura	Riapertura spontanea	A	Riapertura spontanea	A
Variazione totale della direzione	Inferiore a 360°	A	Inferiore a 360°	A
Consequente chiusura della semiala opposta	No	A	No	A
Consequente twist	No	A	No	A
Consequente cascata di configurazioni	No	A	No	A
Cambio di direzione prima della riapertura	< 90°	Angolo di picchiata o di rollio compreso entro	0° - 15°	A
Comportamento nella riapertura	Riapertura spontanea	A	Riapertura spontanea	A
Variazione totale della direzione	Inferiore a 360°	A	Inferiore a 360°	A
Consequente chiusura della semiala opposta	No	A	No	A
Consequente twist	No	A	No	A
Consequente cascata di configurazioni	No	A	No	A
Cambio di direzione prima della riapertura	< 90°	Angolo di picchiata o di rollio compreso entro	15° - 45°	A
Comportamento nella riapertura	Riapertura spontanea	A	Riapertura spontanea	A
Variazione totale della direzione	Inferiore a 360°	A	Inferiore a 360°	A
Consequente chiusura della semiala opposta	No	A	No	A
Consequente twist	No	A	No	A
Consequente cascata di configurazioni	No	A	No	A
15. Cambio di direzione in seguito a una chiusura asimmetrica trattenuta - 4.1.15				
Capacità a mantenere il volo rettilineo	Si	A	Si	A
Rotazione di 180° in 10 sec. dalla parte opposta alla chiusura	Si	A	Si	A
Differenza di trazione del comando fra la virata, lo stallo e la vite piatta negativa	Trazione simmetrica dei freni superiore al 50%	A	Trazione simmetrica dei freni superiore al 50%	A
16. Tendenza al negativo a velocità di trim - 4.1.16				
Consequente vite piatta negativa	No	A	No	A
17. Tendenza al negativo alle basse velocità - 4.1.17				
Consequente vite piatta negativa	No	A	No	A
18. Uscita da una vite piatta negativa - 4.1.18				
Angolo di rotazione in vite piatta negativa dopo il rilascio del comando	Esce dalla spirale in meno di 90°	A	Esce dalla spirale in meno di 90°	A
Consequente cascata di configurazioni	No	A	No	A
19. Stallo di B - 4.1.19				
Cambiamento di direzione dopo il rilascio	Cambio di direzione inferiore a 45°	A	Cambio di direzione inferiore a 45°	A
Comportamento prima del rilascio	Mantiene la stabilità senza alcuna deformazione del profilo	A	Mantiene la stabilità senza alcuna deformazione del profilo	A
Uscita	Spontaneo in meno di 3 sec.	A	Spontaneo in meno di 3 sec.	A
Angolo di picchiata in uscita	0° - 30°	A	0° - 30°	A
Consequente cascata di configurazioni	No	A	No	A
20. Grandi orecchie - 4.1.20				
Procedura d'ingresso	Sistemi di controllo dedicati	A	Sistemi di controllo dedicati	A
Comportamento durante le grandi orecchie	Volo stabile	A	Volo stabile	A
Uscita	Spontaneo in meno di 3 sec.	A	Spontaneo in meno di 3 sec.	A
Angolo di picchiata in uscita	0° - 30°	A	0° bis 30°	A
21. Grandi orecchie con acceleratore - 4.1.21				
Procedura d'ingresso	Sistemi di controllo dedicati	A	Sistemi di controllo dedicati	A
Comportamento durante le grandi orecchie	Volo stabile	A	Volo stabile	A
Uscita	Spontaneo in meno di 3 sec.	A	Spontaneo in meno di 3 sec.	A
Angolo di picchiata in uscita	0° - 30°	A	0° bis 30°	A
Comportamento durante le grandi orecchie trattenute dopo il rilascio dell'acceleratore	Volo stabile	A	Volo stabile	A
22. Comportamento in uscita da una spirale stretta - 4.1.22				

Tendenza a riprendere il normale assetto di volo	Uscita spontanea	A	Uscita spontanea	A
Angolo di rotazione per ritrovare il normale assetto di volo	Inferiore a 720°, uscita spontanea	A	Inferiore a 720°, uscita spontanea	A
23. Tecniche alternative di pilotaggio - 4.1.23				
Virata di 180° possibile in 20 sec.	Si	A	Si	A
Conseguente vite piatta negativa o stallo	No	A	No	A
24. Altre procedure e/o configurazioni di volo descritte nel manuale d'uso - 4.1.24				
Esecuzione corretta della manovra / manuale		NA		NA
Manovra adatta per i piloti principianti		NA		NA
Conseguente cascata di configurazioni		NA		NA
25. Osservazioni del test pilot				
Copyright Ralf Antz 2010	Il rapporto del test di certificazione viene generato automaticamente e non necessita di alcuna firma			